

Fig. 1
(PRIOR ART)

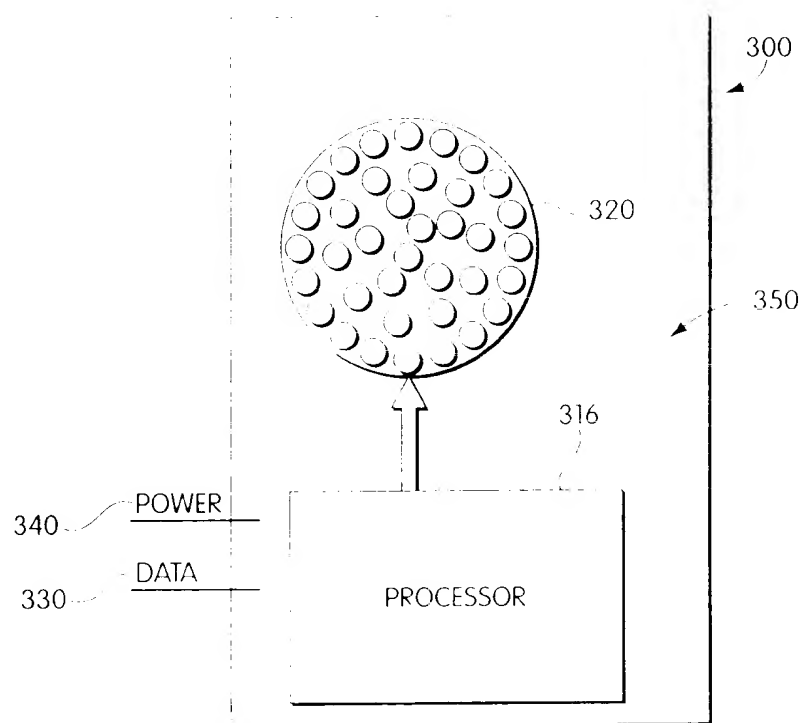


Fig. 2

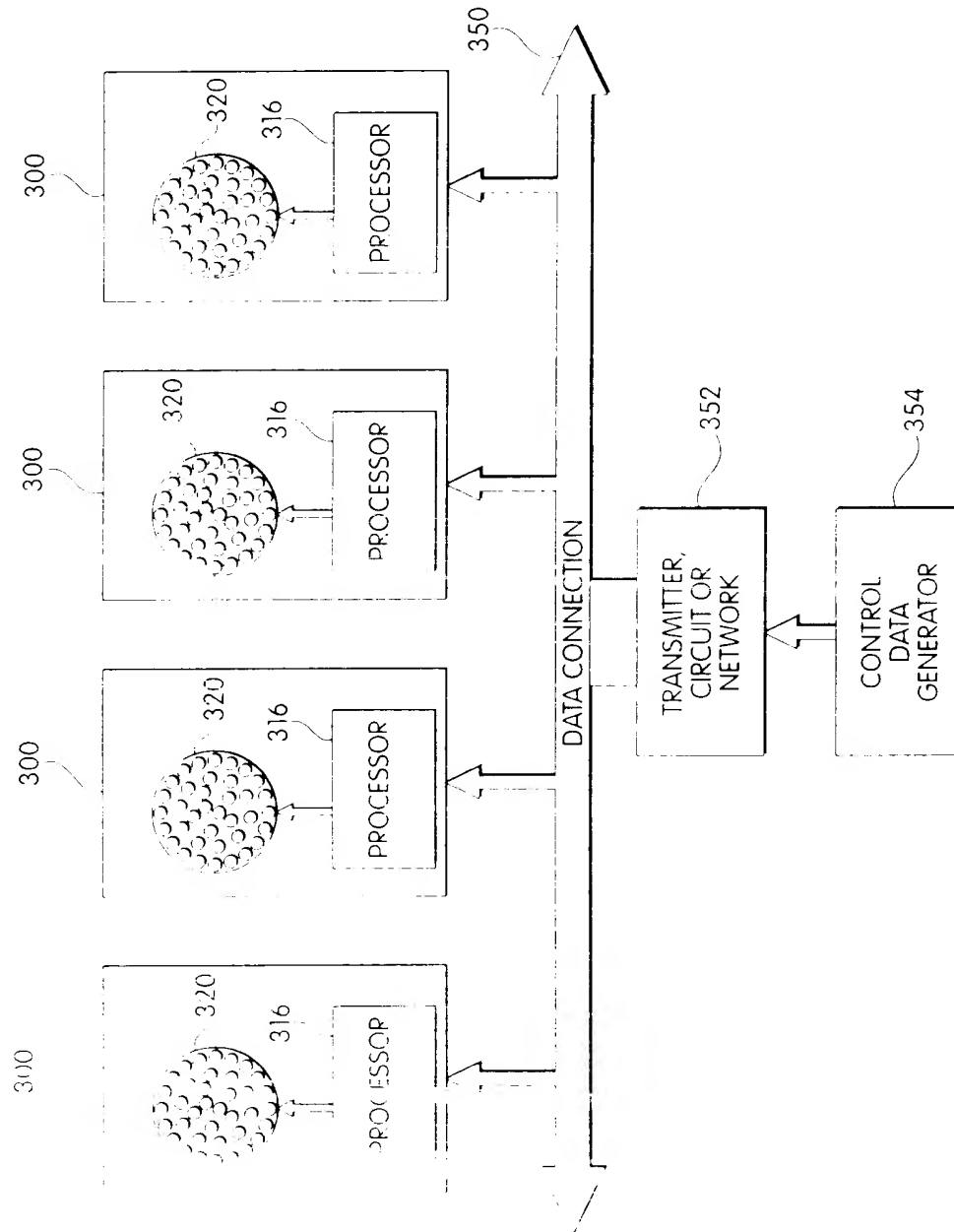


Fig. 3

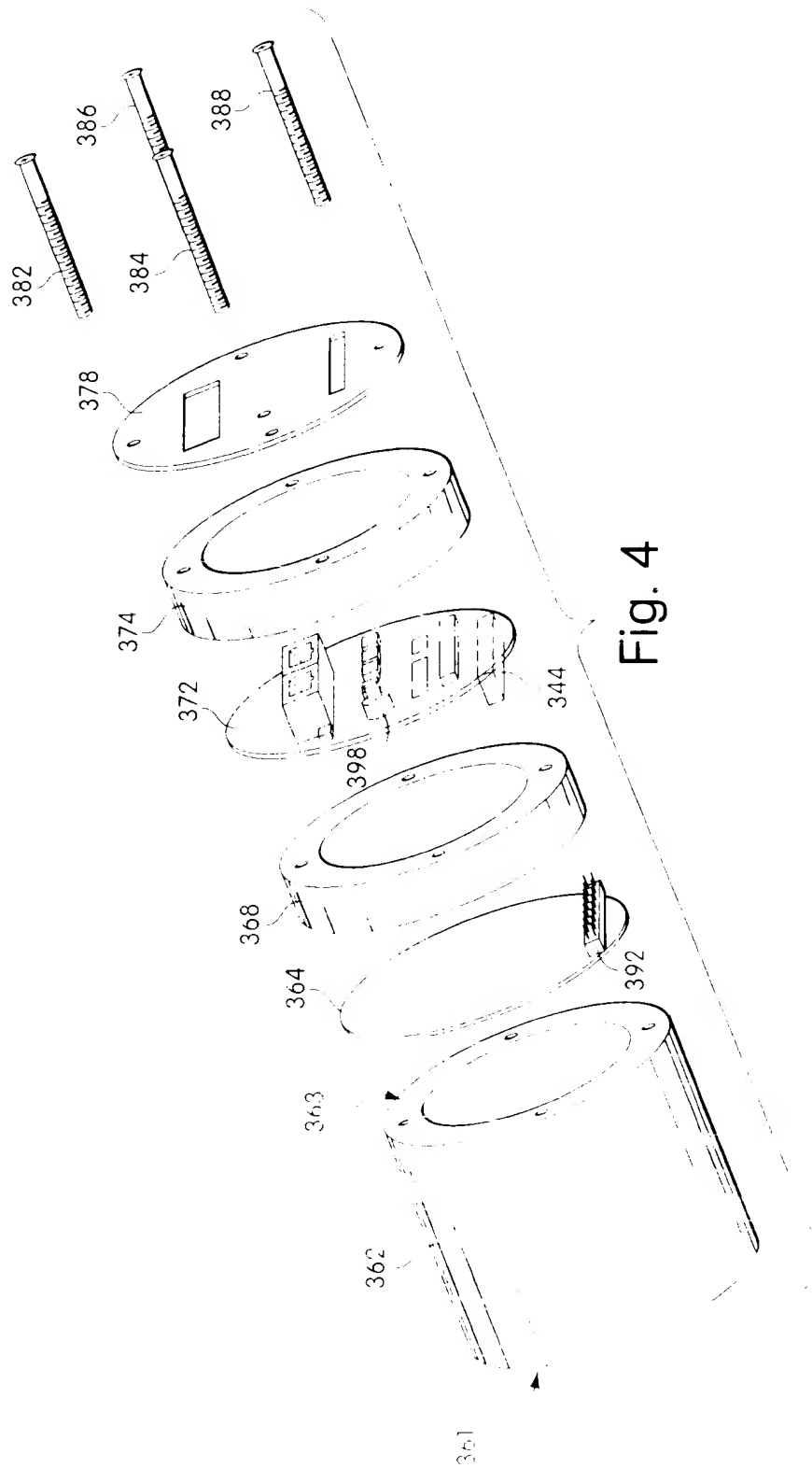


Fig. 4

5/23

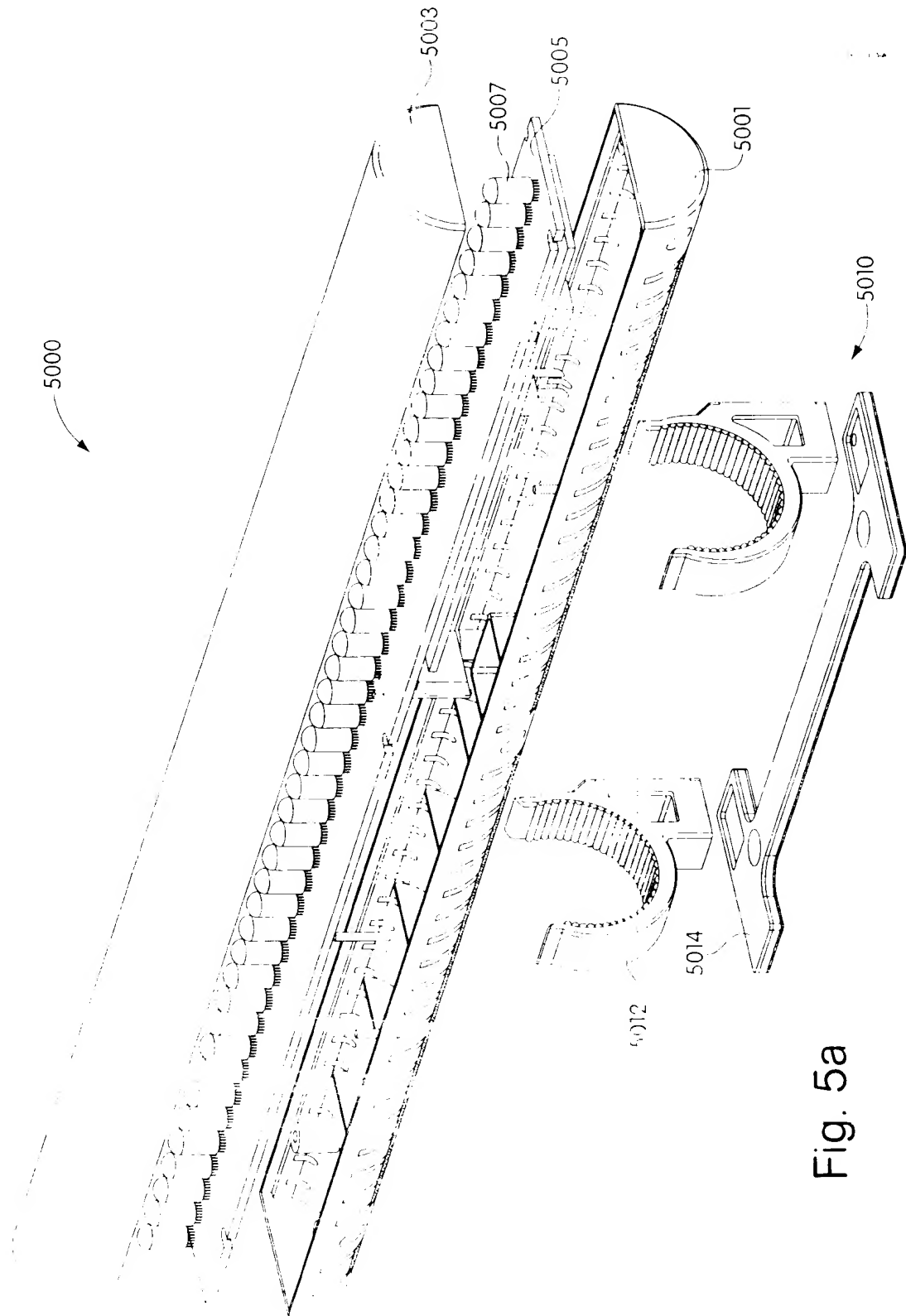


Fig. 5a

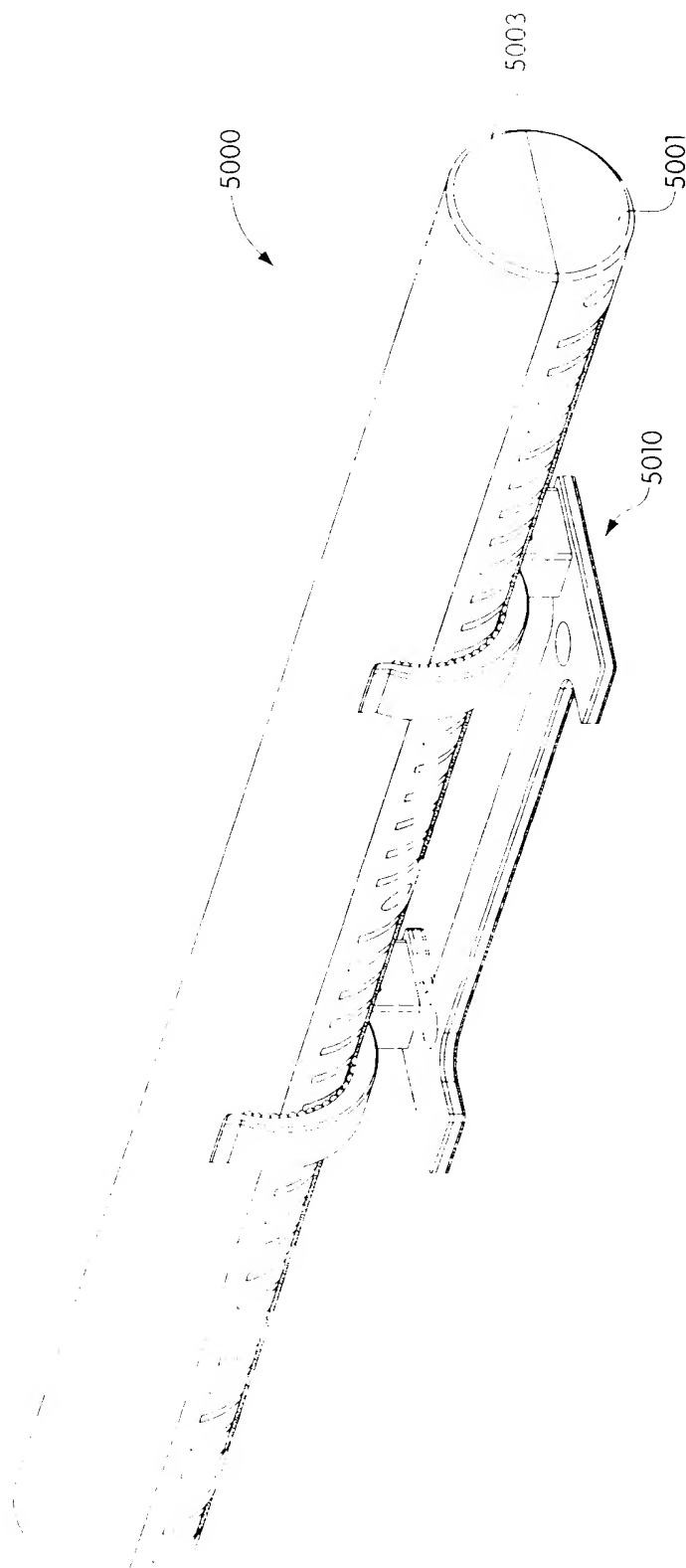


Fig. 5b

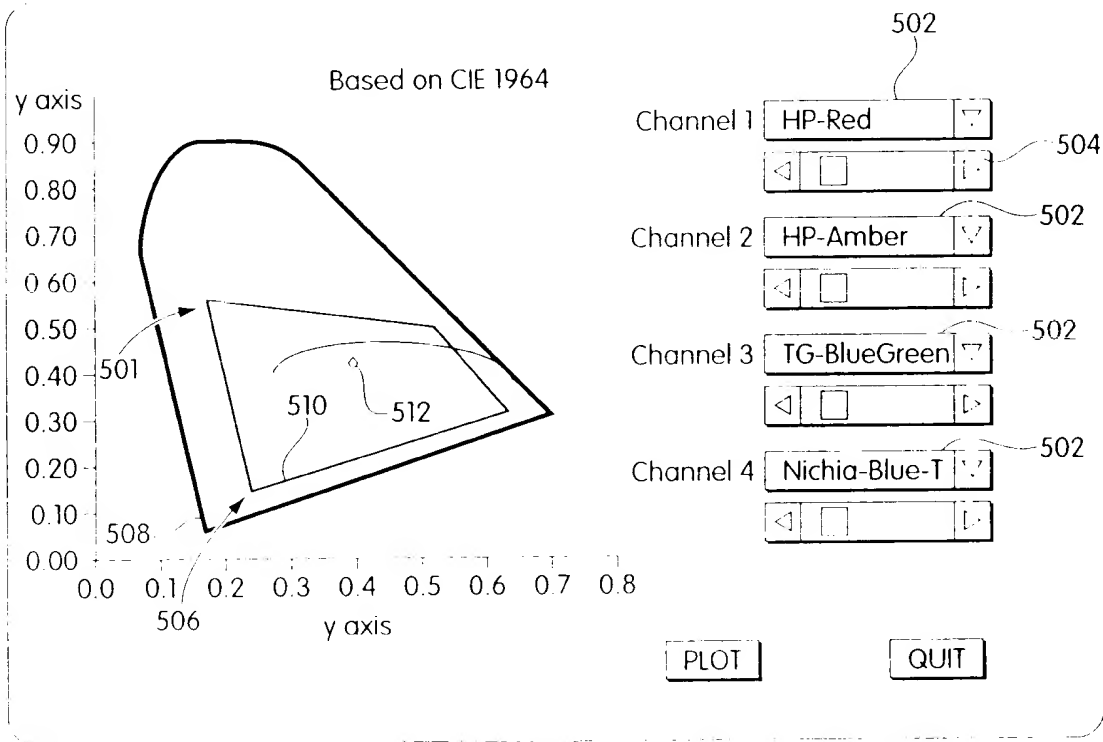


Fig. 6

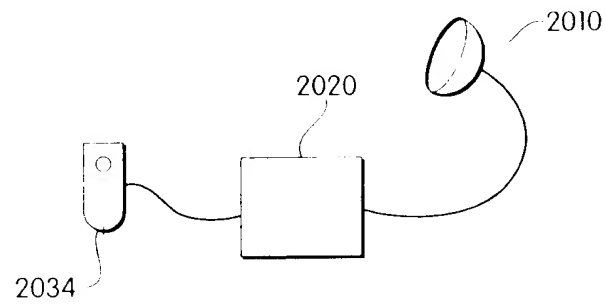


Fig. 7

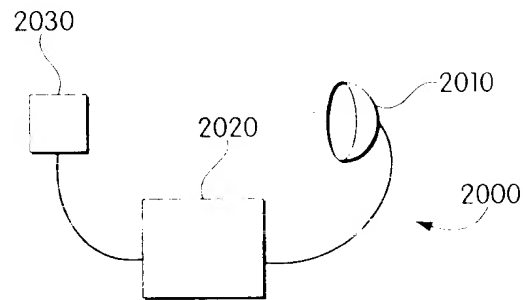


Fig. 8a

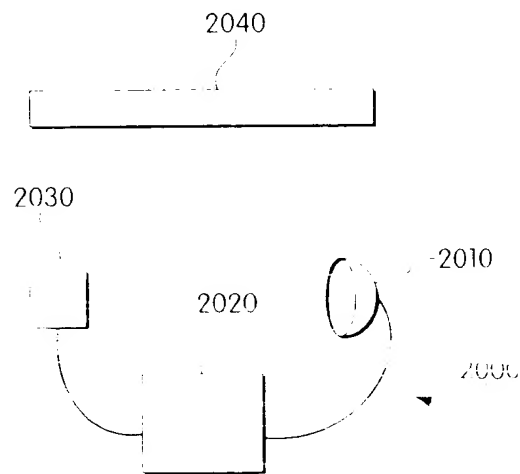


Fig. 8b

9/23

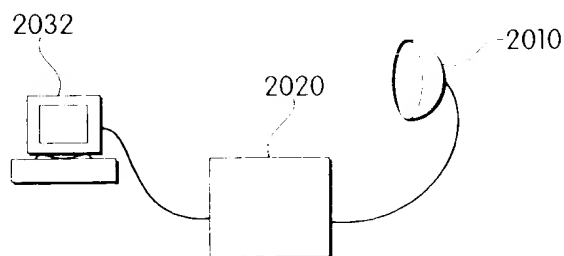


Fig. 9

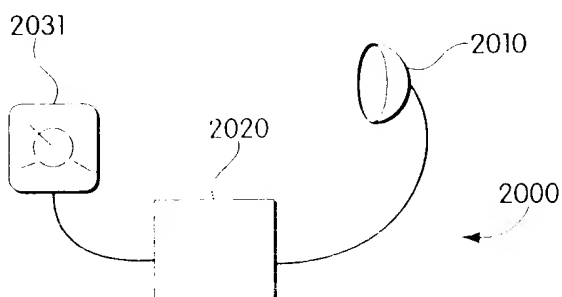


Fig. 10a

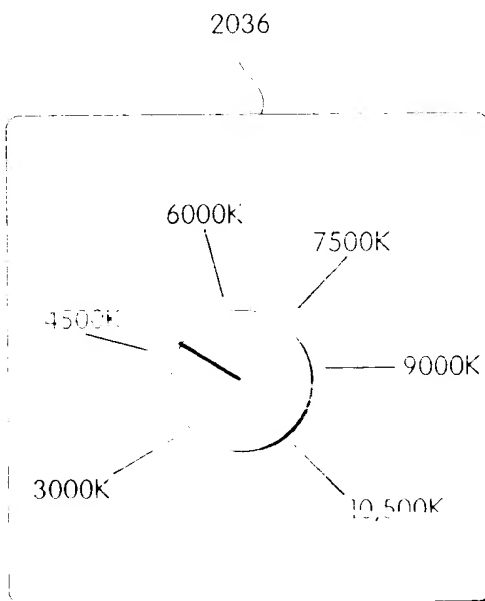


Fig. 10b

10/23

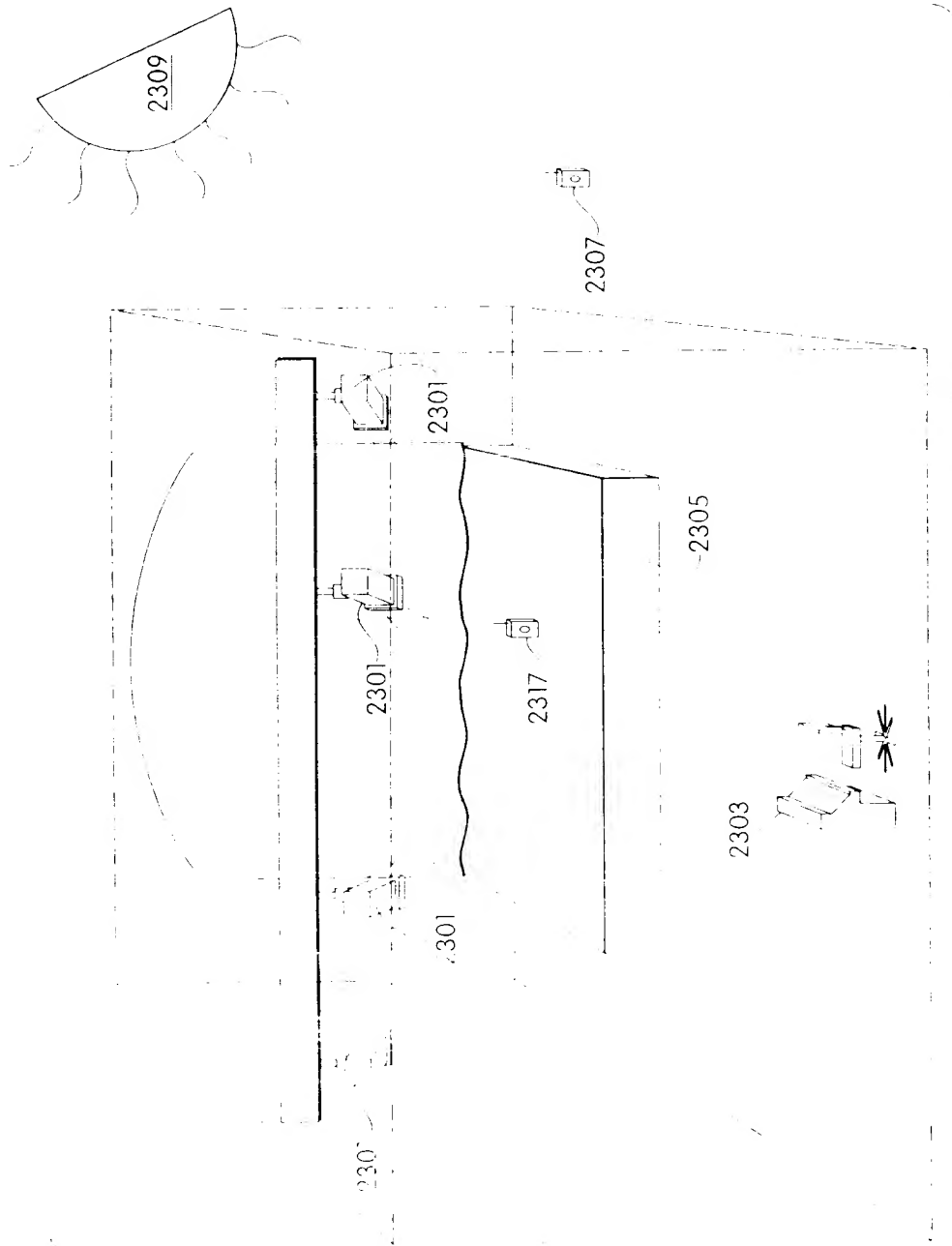


Fig. 11

11/23

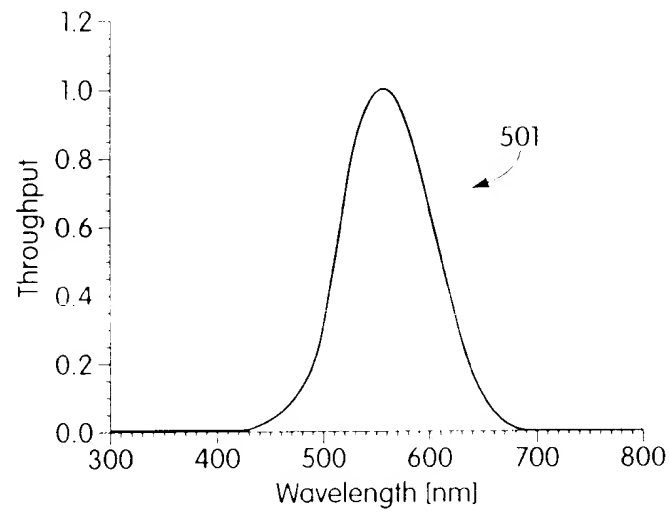


Fig. 12

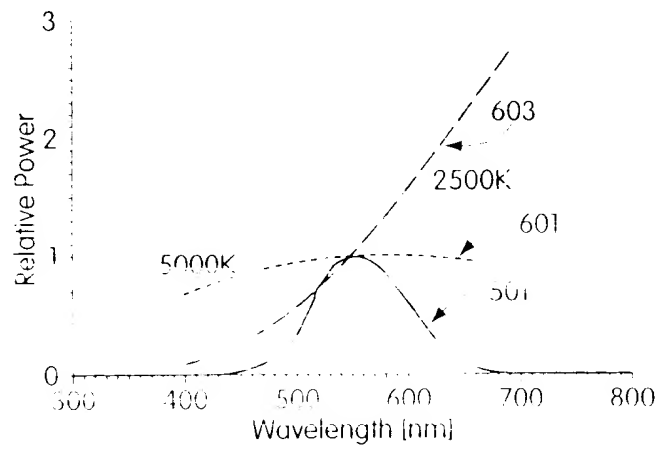


Fig. 13

12/23

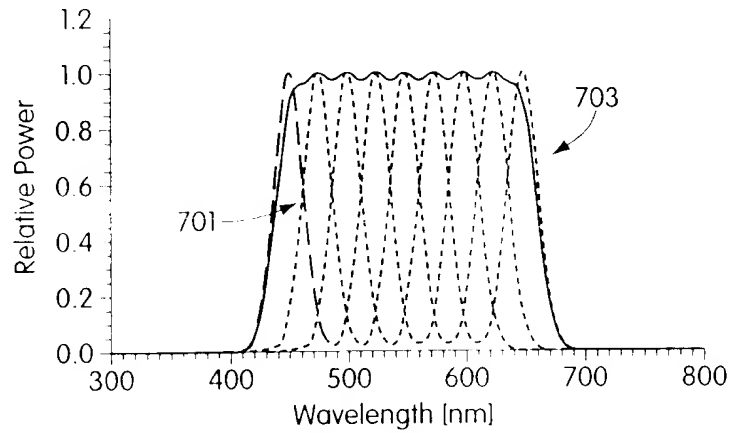


Fig. 14

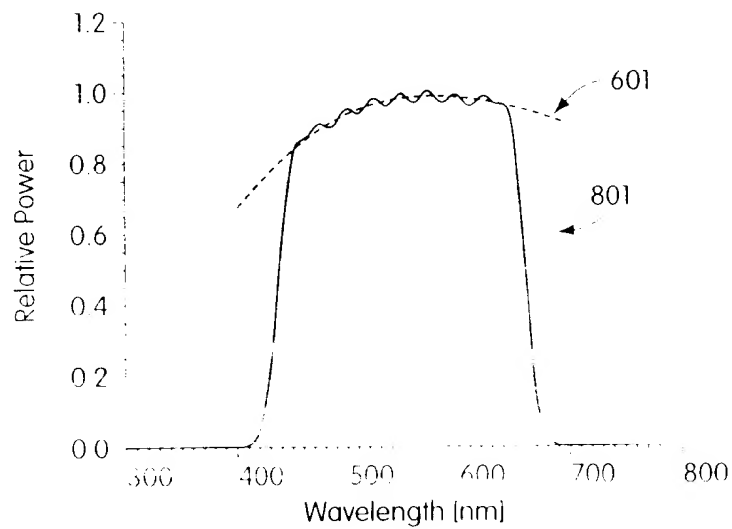


Fig. 15a

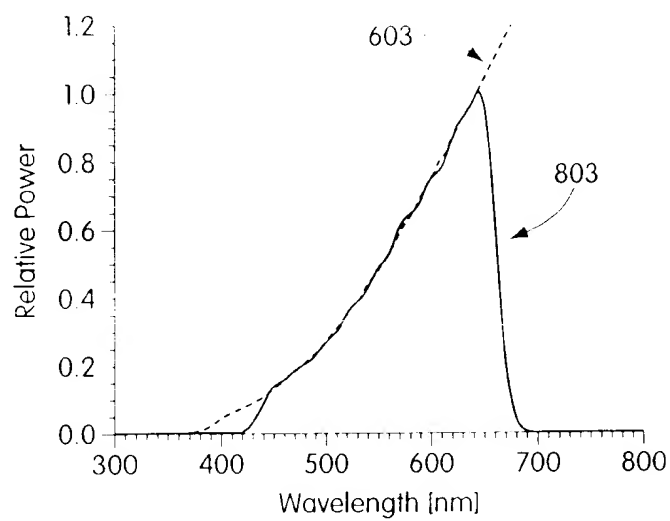


Fig. 15b

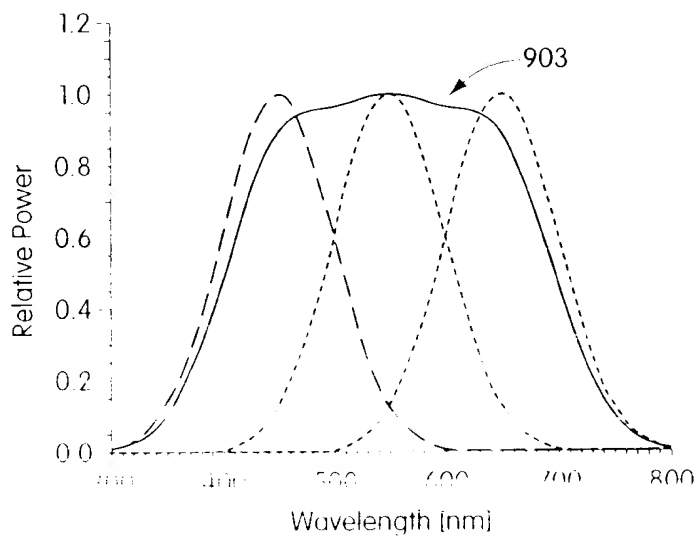


Fig. 16

14/23

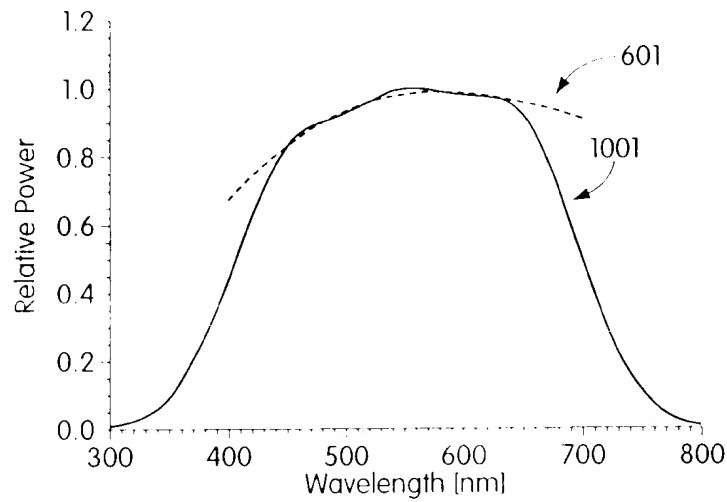


Fig. 17a

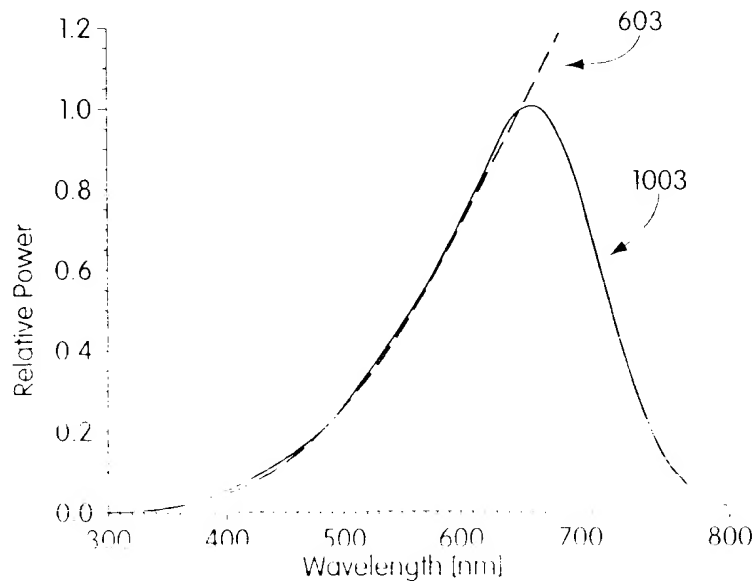


Fig. 17b

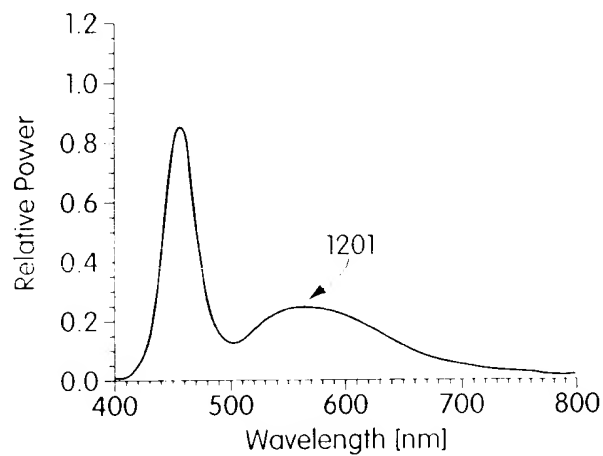


Fig. 18

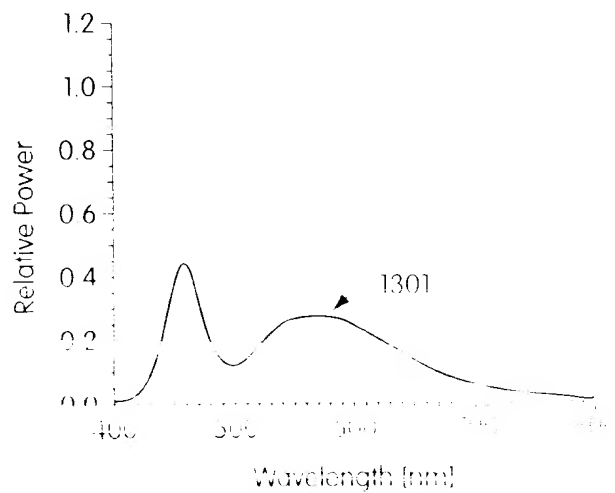


Fig. 19

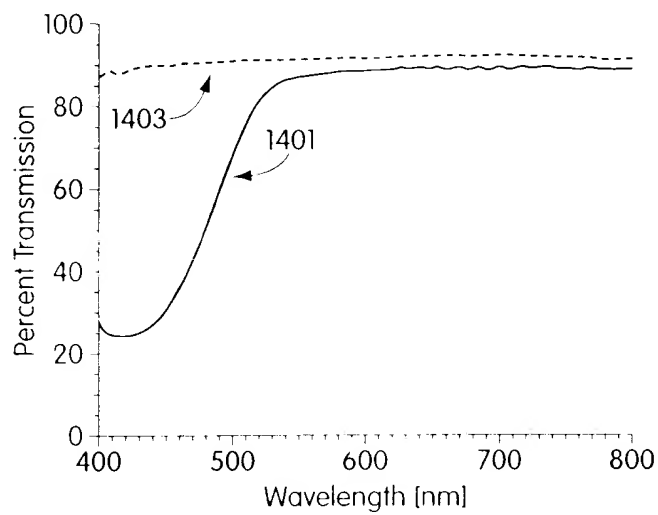


Fig. 20

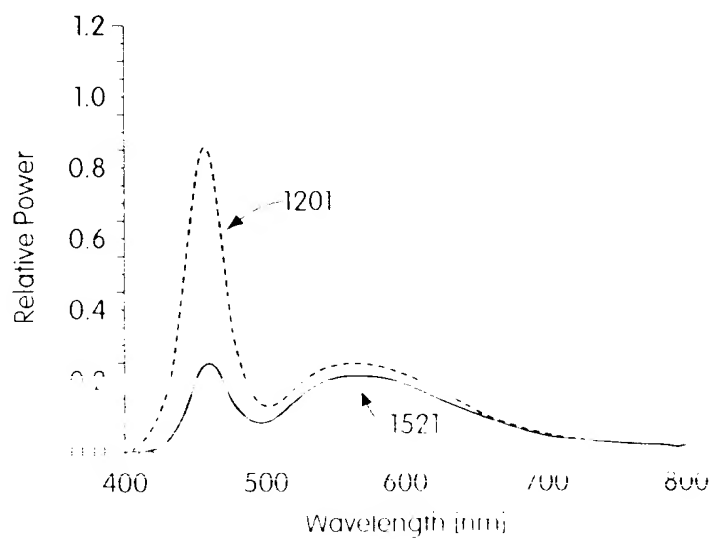


Fig. 21a

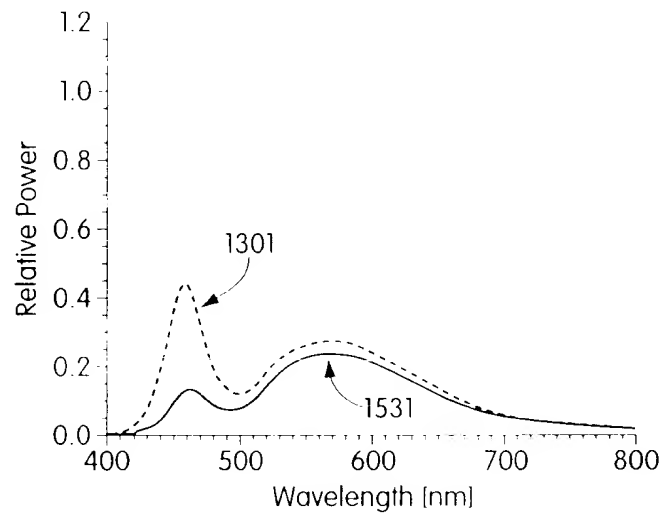


Fig. 21b

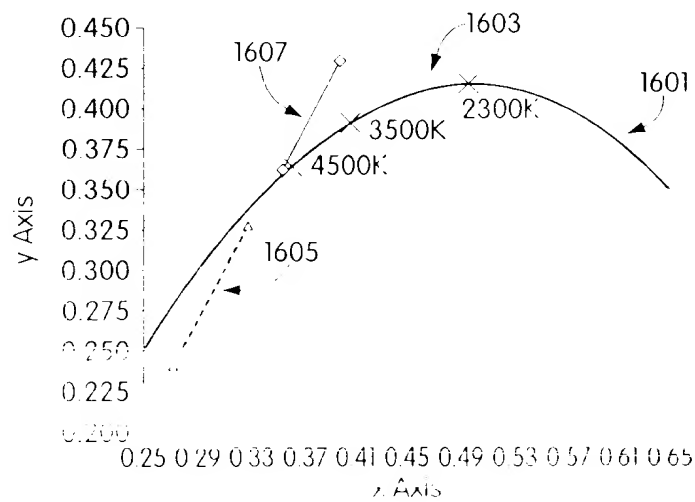


Fig. 22

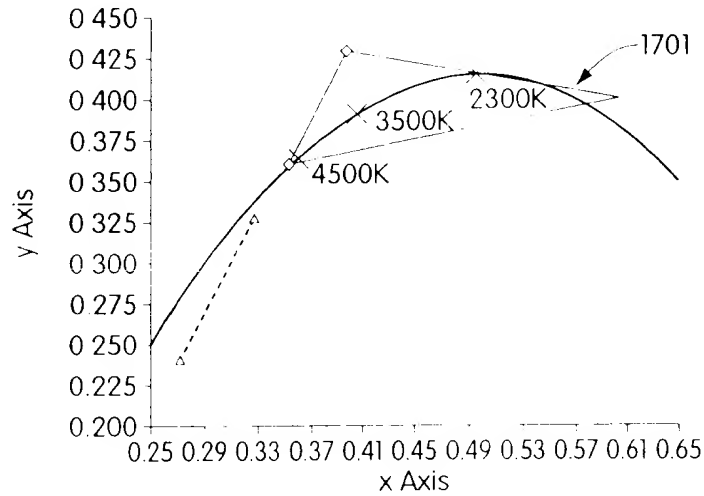


Fig. 23

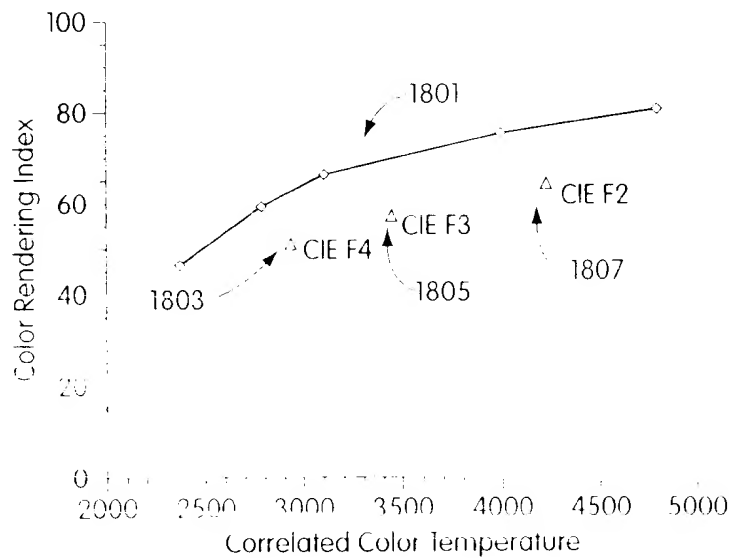


Fig. 24

19/23

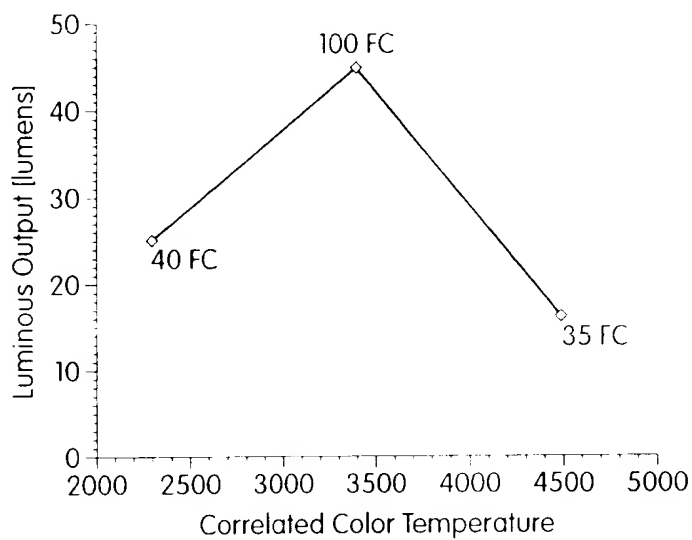


Fig. 25

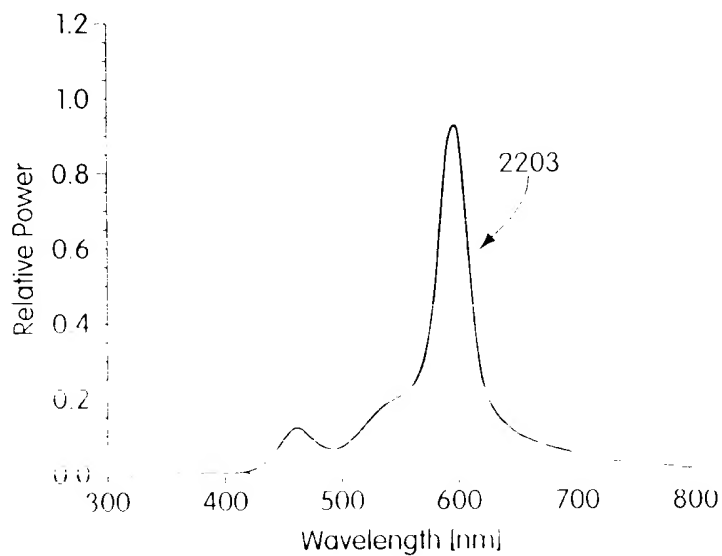


Fig. 26a

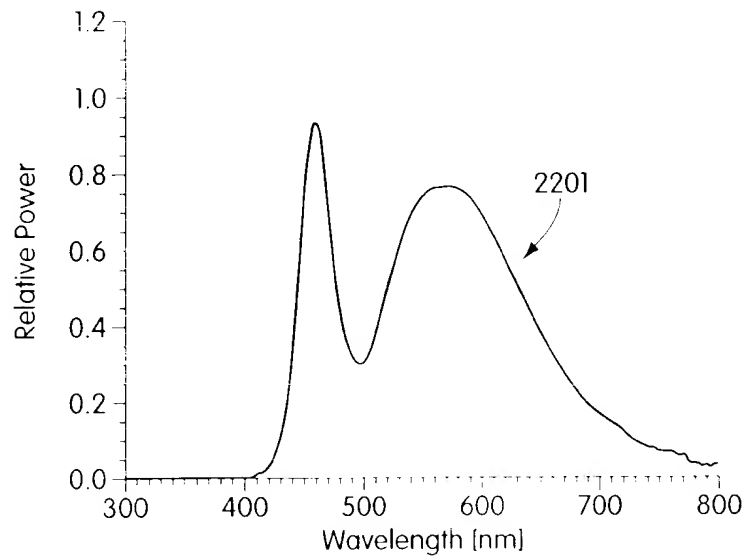


Fig. 26b

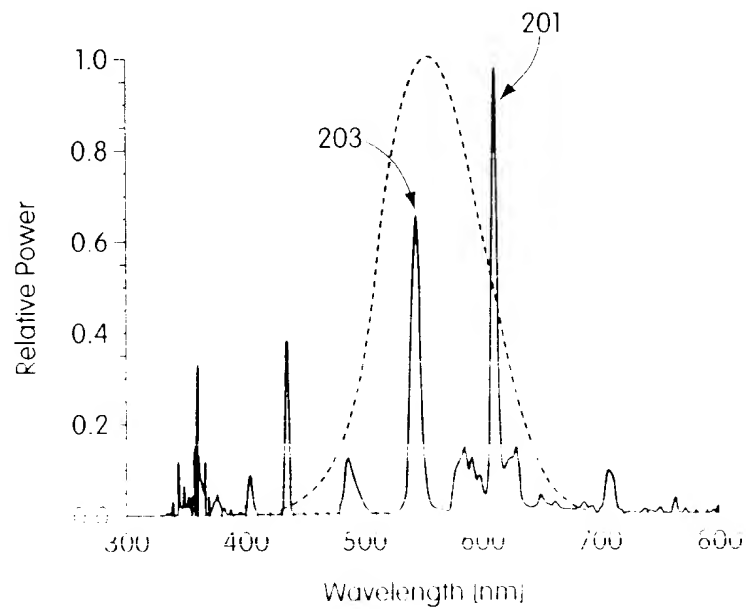


Fig. 27
(Prior Art)

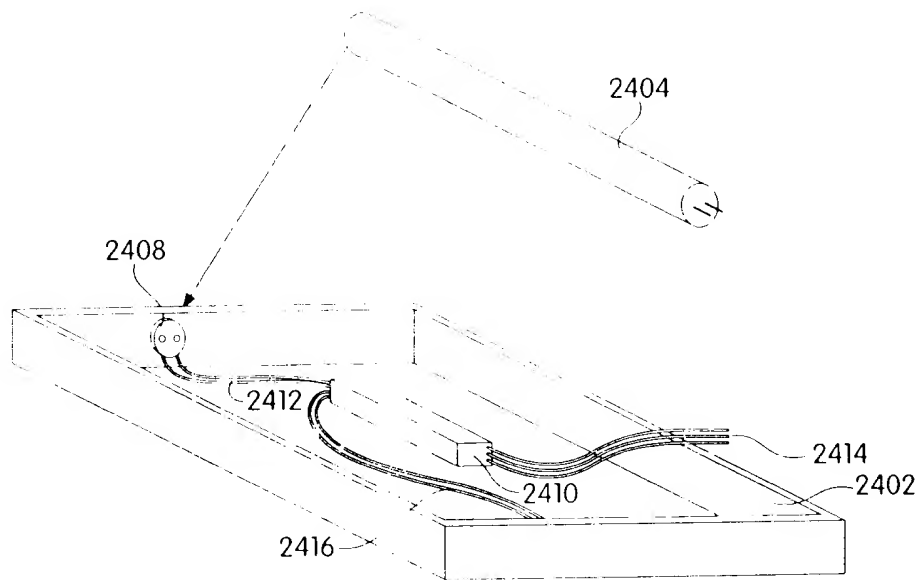
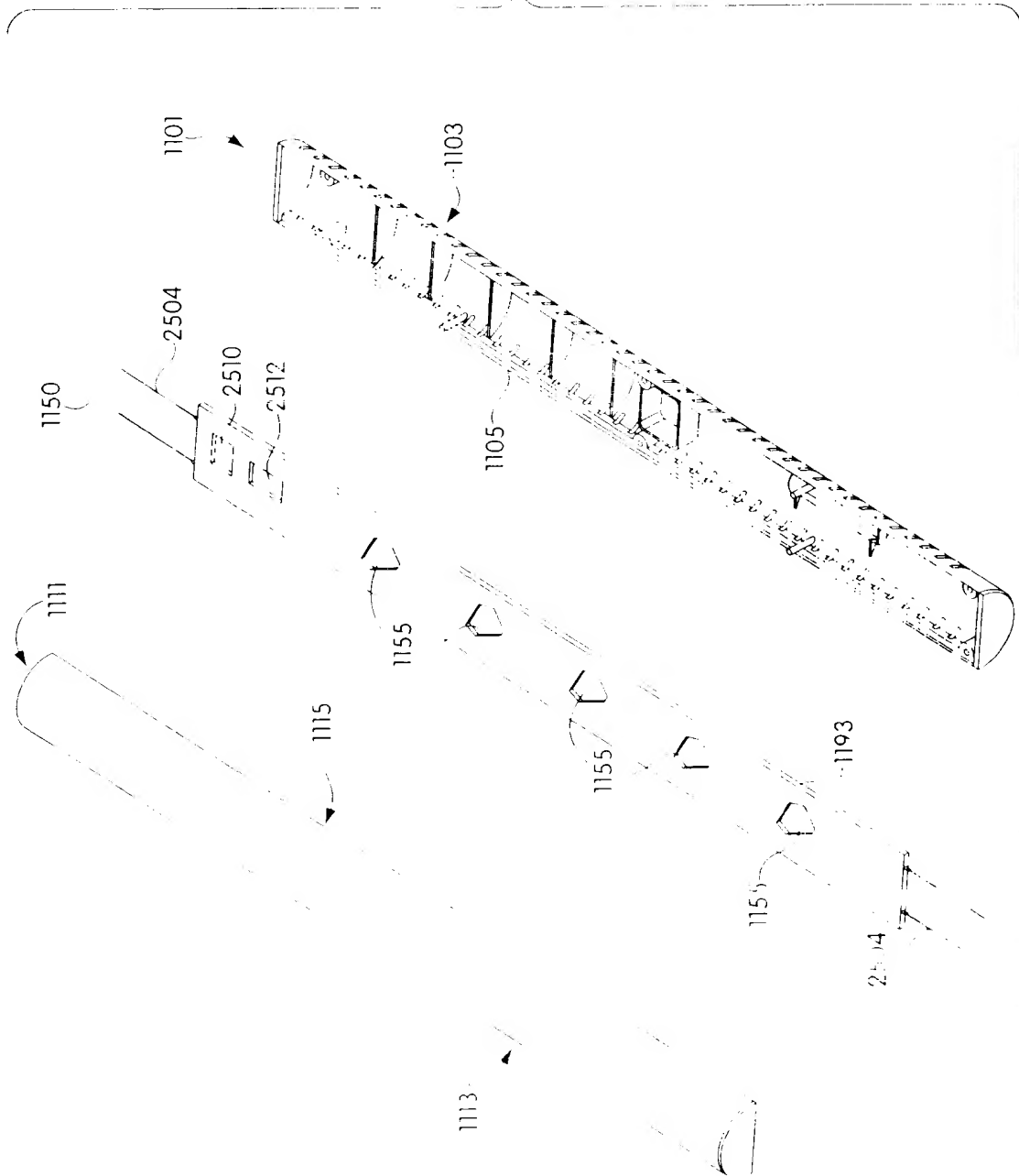


Fig. 28
(Prior Art)

Fig. 29



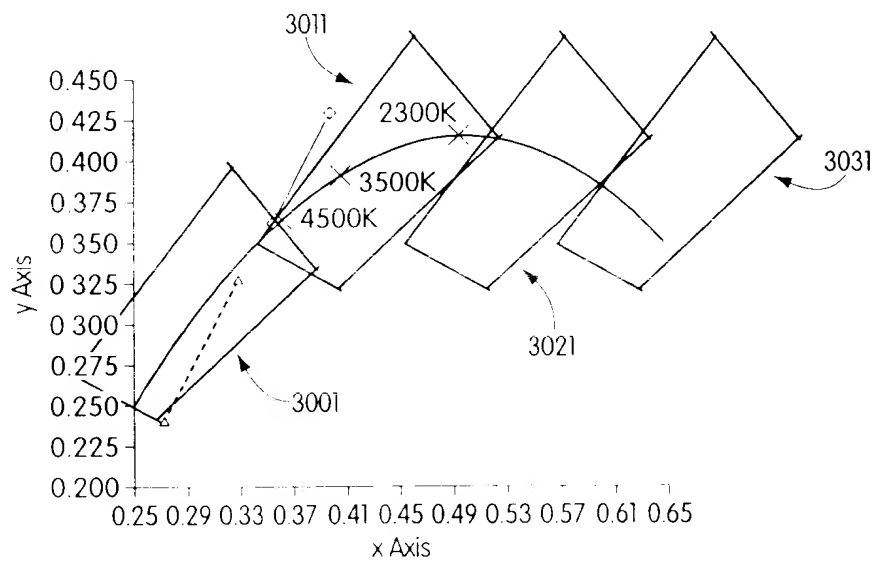


Fig. 30